







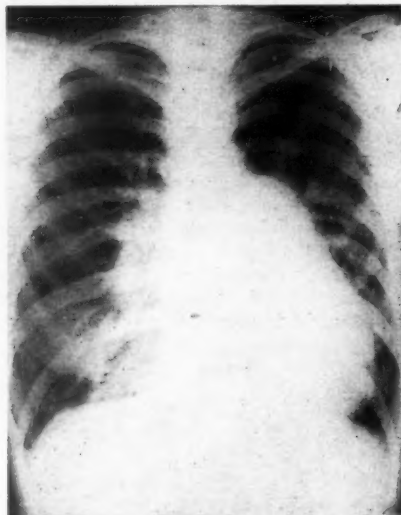




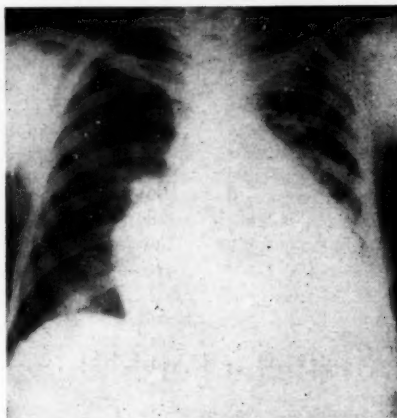
physikalischer Befund. Leber etwa zwei Querfinger unterhalb des Rippenbogens fühlbar. Keine peripheren Ödeme.

Röntgenuntersuchung: (Abb. 1A): Herz erheblich nach links verbreitert mit deutlich vorgewölbtem und pulsierendem Pul-

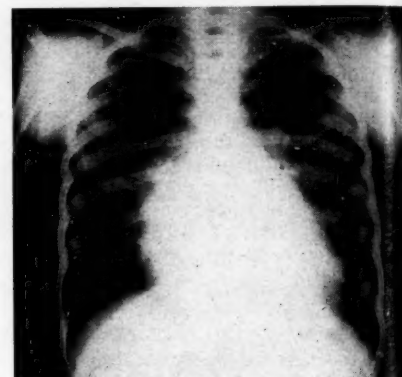
monalisbogen. Der linke Vorhof ist rechts randbildend. Retrokardialraum eingeengt. Beide Hili sehr schattendicht, vermehrte Streifenzeichnung in beiden Lungenfeldern. Kymographisch normale Kammerzacken am linken und rechten Herzrand in der Gegend des



A

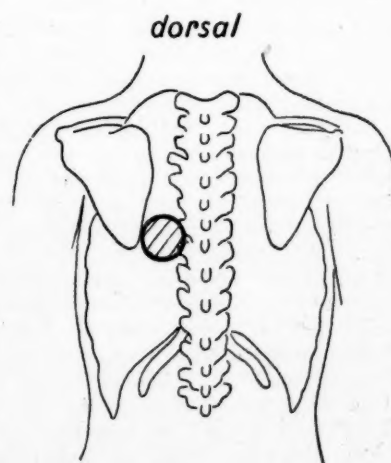
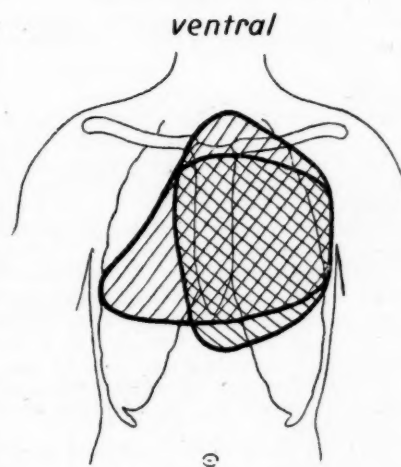
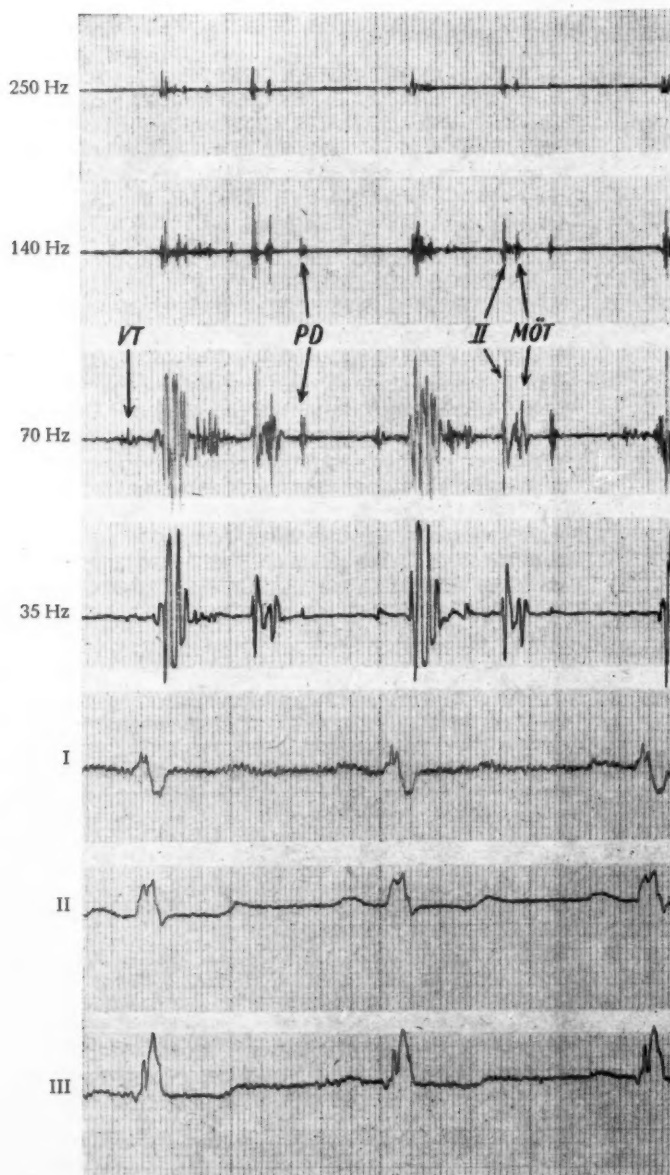


B



C

Abb. 1: Routineröntgenaufn. bei sagittalem Strahlengang des ersten (A), zweiten (B) u. dritten Falles (C)



▨ systol. Geräusch

▨ Mitralklappenöffnungsgeräusch bzw. diast. Geräusche

Abb. 2: Elektrophonokardiogramm des ersten Falles. Erläuterung siehe Text. II = 2. Herzton; MOT = Mitralklappenöffnungsgeräusch; PD = protodiastolischer Ton bzw. Geräusch; VT = Vorhofston



Unter Berücksichtigung sämtlicher Befunde stellten wir die Diagnose eines kombinierten Mitralvitiums mit relativer Trikuspidalinsuffizienz. Auf Grund des hohen systolischen rechtsventrikulären Druckwertes, der gewaltigen Vergrößerung des rechten Ventrikels (links randbildend), des deutlich akzentuierten 1. Herztones und des relativ kurzen Abstandes zwischen 2. Herzton und Mitralöffnungston räumten wir der

Mitralstenose für die hämodynamischen Verhältnisse einen bedeutenden, möglicherweise sogar entscheidenden Einfluß ein und entschlossen uns im Hinblick auf die schlechte Situation der Patientin quoad vitam für die Operation.

Operationsbefund: Keine Herzbeutelverwachsungen. Das Herz ist in toto stark vergrößert und im Gegenuhrzeigersinn gedreht. Die Vergrößerung betrifft beide Ventrikel. Über dem linken Vorhof

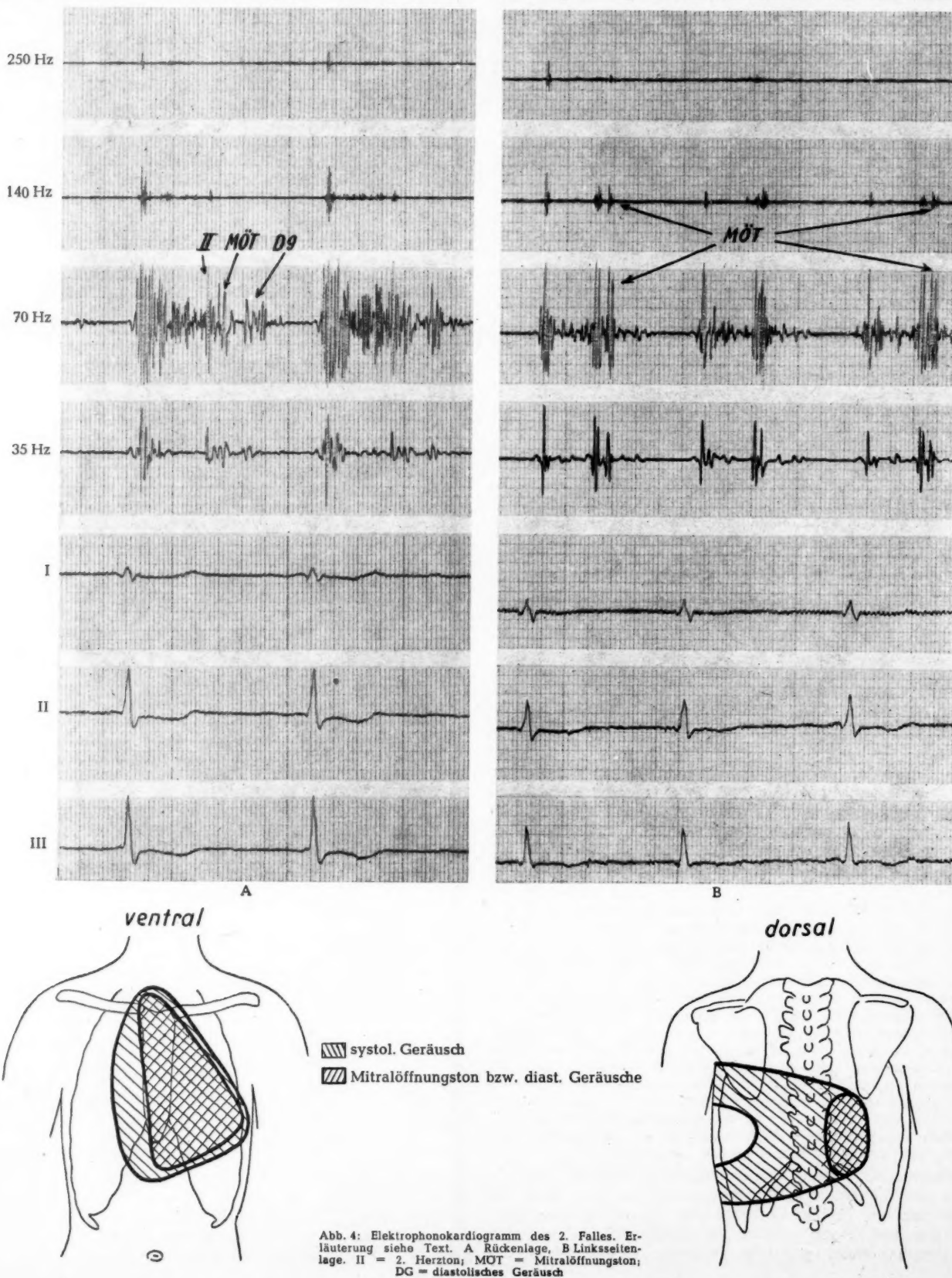


Abb. 4: Elektrophonokardiogramm des 2. Falles. Erläuterung siehe Text. A Rückenlage, B Linkseitenlage. II = 2. Herzton; MÖT = Mitralöffnungston; DG = diastolisches Geräusch

Einfluss  
Situat-  
en. Das  
gedreht.  
Vorhof

deutliches systolisches Schwirren fühlbar. Bei der digitalen Exploration des linken Vorhofes findet sich eine Mitrallöffnung von ca. drei Querfingerbreite bei erheblicher Dilatation des Klappenringes. Beträchtlicher systolischer Rückfluß durch die insuffiziente Klappe. Die Klappenregel selbst einschließlich der Sehnenfäden, soweit sie der Palpation zugänglich sind, erscheinen zart und nicht geschrumpft, so daß auf Grund des Tastbefundes der Eindruck einer relativen und keiner organischen Klappeninsuffizienz erwächst.

Postoperativer Verlauf bis auf einen bronchopneumonischen Prozeß komplikationslos. Die oben erwähnten Befunde mit Ausnahme der Katheterergebnisse wurden vor der Entlassung der Pat. kontrolliert und waren unverändert nachweisbar.

**Epikrise:** Die eindeutig rheumatische Anamnese hatte im Zusammenhang mit dem phonokardiographischen Befund, den hohen Druckwerten im rechten Ventrikel und der deutlich hebenden Aktion des rechten Herzens zur Diagnose einer Mitralklappenstenose geführt, wobei dieses Vitium als überwiegender Faktor eines kombinierten Mitralklappenleidens angesehen wurde. Das holosystolische Geräusch freilich ließ auch an eine erhebliche Mitralklappeninsuffizienz denken. Bei der Operation ergab sich überhaupt kein Anhaltspunkt für ein organisches Vitium an der Mitralklappen. Der Tastbefund ließ lediglich auf eine relative Mitralklappeninsuffizienz bei wohl myokardisch verändertem linken Ventrikel schließen. Eine Erklärung für die Stenosesymptome kann nicht gegeben werden. Die Annahme einer relativen Stenose bei Dilatation des linken Ventrikels erscheint bei der

Weite des Mitralklappenringes als gezwungen. Gleichzeitig zeigt der Fall, daß die prognostisch ungünstige Bedeutung, die man allgemein dem holosystolischen Mitralklappeninsuffizienzgeräusch zuerkennt, nicht immer gerechtfertigt sein muß, da dieses Geräusch offenbar nicht in strenger Abhängigkeit zur Schwere der Klappenveränderungen auftritt.

3. Ra., E.; Krb. 709/56. 8j. Kind, bei dem 1954 eine Polyarthrit auftrat. Wegen rapider Abmagerung und Verschlechterung des Gesamtbildes wurde das Kind Ende 1954 in eine Kinderklinik überwiesen. Einjähriger Krankenhausaufenthalt, wobei ununterbrochen Glykoside zugeführt werden mußten. Bereits kurze Zeit nach der Entlassung erneute kardielle Insuffizienzerscheinungen, worauf abermalige Krankenhauseinweisung erfolgte.

Nachdem unter der stationären Behandlung wiederum eine Besserung eingetreten war, wurde das Kind mit der Frage, ob bei der infausten Prognose durch ein aktives Vorgehen die weiteren Aussichten günstiger gestaltet werden könnten, zu uns überwiesen.

Der Krankheitszustand bei der Aufnahme war derart, daß zunächst nicht an eine eingehendere Diagnostik gedacht werden konnte. Nach mehrwöchiger Glykosidtherapie war das Kind zwar in Ruhe kompensiert, doch setzten bei Aufstehen rasch Dekompensationserscheinungen, insbesondere in Form von Dyspnoe, ein.

**Untersuchungsbefund:** Hochgradig reduzierter Ernährungs- und Kräftezustand, Haut blaß. Voussure links parasternal. Mäßige Atemtenthaltung des Brustkorbes. Über der Voussure und dem unteren Sternum stark hebende Pulsation. Mit der aufgelegten Hand im gleichen Bereich Schwirren fühlbar. Herz perkussorisch nach links

vergrößert. Auskultatorisch schabendes systolisches Geräusch mit punct. max. über der Basis und Fortleitung in die Halsgefäße und das Jugulum. Das Geräusch konnte außerdem über der Art. femoralis in der Leistenbeuge festgestellt werden. Mit punct. max. über dem Spitzenbereich diastolisches Geräusch. Herzaktion tachykard, regelmäßig. RR 110/70 mm Hg — Leber nicht sicher fühlbar. — Blutsenkung nicht beschleunigt. Antistreptolysintiter 1:200.

**Röntgenuntersuchung (Abb. 1 C):** Herz beidseits vergrößert bei gerundeter Kontur beider Herzränder. Im Bereich der Herzbucht konvexe Begrenzung des Herzschattens, wodurch eine fast kugelige Herzsilhouette resultiert. Angedeutete Doppelkontur rechts der Wirbelsäule, so daß im Zusammenhang mit der völligen Einengung des oberen Retrokardialraumes ein teilweise rechts randbildender linker Vorhof anzunehmen ist. Gefäßband schmal, deutlich vermehrte Lungenzeichnung.

**Elektrokardiogramm (Abb. 5):** Rechtstyp mit vorwiegender Rechtsschädigung des Arbeitsmyokards. Angedeutete Doppelgipfligkeit von P in Ableitung I bei diphasischem Verlauf in V<sub>1</sub> mit beginnender Verbreiterung (0,10—0,11 sek.). Übergang zum P-mitrale.

**Phonokardiogramm (Abb. 5):** Hochfrequentes holosystolisches Geräusch mit großer Amplitude. In den hohen Frequenzfiltern zeigt das Geräusch Spindelform. Der 1. Herzton ist lediglich im Filter 35 Hz mit Sicherheit nachweisbar. Das Geräusch geht unmittelbar in den 2. Herzton über, dem, besonders schön in höheren Frequenzfiltern nachweisbar, nach 0,07 sek eine zweite Schwingungsgruppe folgt, die durch ihre hohen Frequenzen ausgezeichnet ist. Nach weiteren 0,09 sek schließt sich im Filter 140 Hz und angedeutet auch 250 Hz eine weite distinkte Schwingung an, die im Filter 70 Hz als diastolisches Geräusch imponiert. Das Maximum des systolischen Geräusches findet sich über der Basis, im Jugulum und über den Halsgefäßen, das des Mitralklappenöffnungs- und des diastolischen Geräusches über dem Sternum und der Spitzenregion. Wie das Lokalisationsschema aber zeigt, sind beide Geräusche fast über der gesamten Thoraxwand, sowohl ventral als auch dorsal registrierbar.

**Herzkatheterismus (nach langfristiger Vorbehandlung):** Der Katheter läßt sich ohne

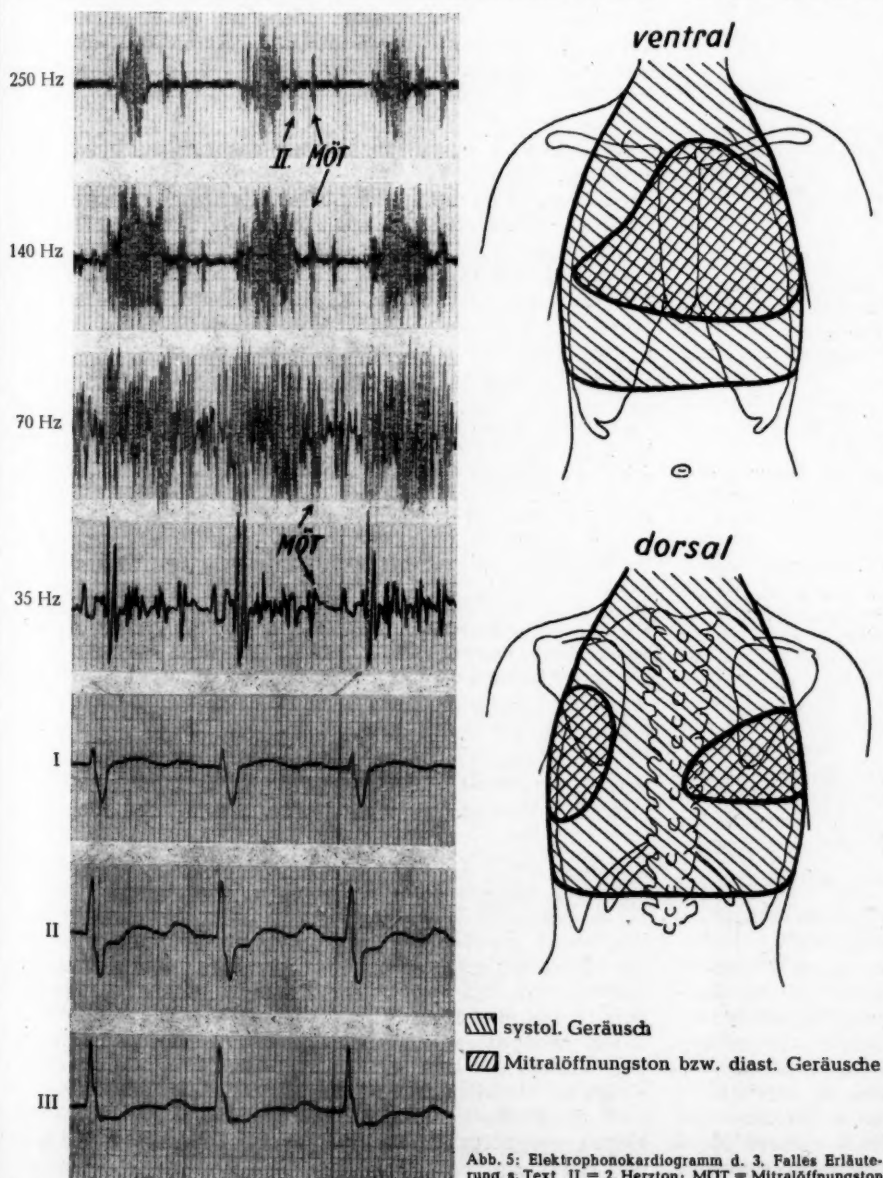


Abb. 5: Elektrophonokardiogramm d. 3. Falles Erläuterung s. Text. II = 2. Herzton; MOT = Mitralklappenöffnungs- bzw. diast. Geräusch



















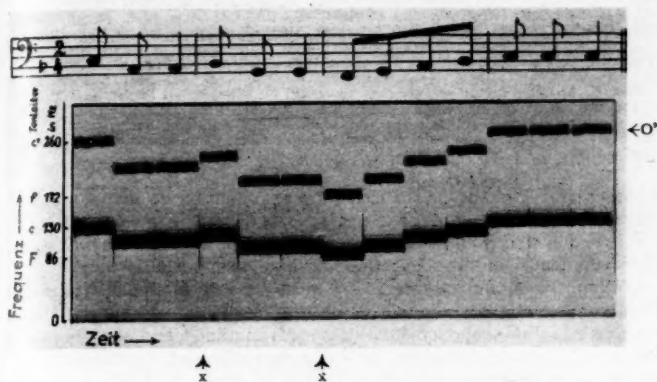


Abb. 4: Zusammenstellung von Visible-speech-Diagramm und musikalischer Notenschrift der Testmelodie

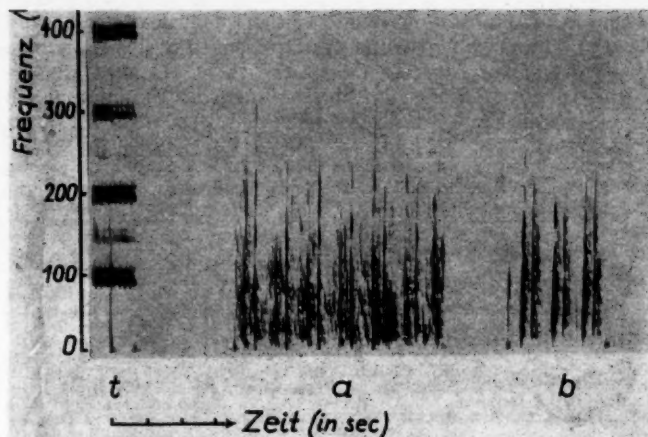


Abb. 7: Ausschnittvergrößerung aus Abb. 6

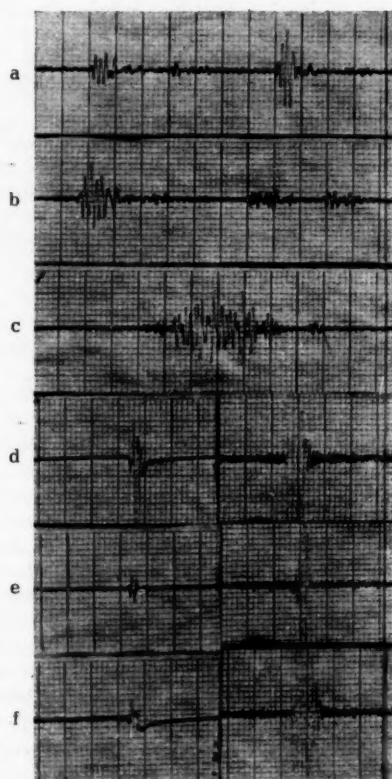


Abb. 5: Beispiele aus der klinischen Akustik: übliche Tonkurven (Oszillogramme).

a = Herztöne eines gesunden Menschen,  
b = Herztöne bei Mitralstenose mit präsysolischem Geräusch und gedoppeltem zweitem Herztönen,  
c = Systolisches Geräusch bei Aortenstenose,  
d = normaler Lungenperkussionsschall,  
e = absolut gedämpfter („Schenkel-“) Perkussionsschall der gleichen Patientin,  
f = tympanitischer Perkussionsschall über der Magenblase.  
Die Kurven wurden mit dem Hellige Multiskriptor 9400/4 bei Filterstellung „mittel 1“ geschrieben. Die Beispiele d, e und f sind zusätzlich noch bei Filterstellung „hoch“ registriert worden und in der rechten Bildhälfte abgebildet

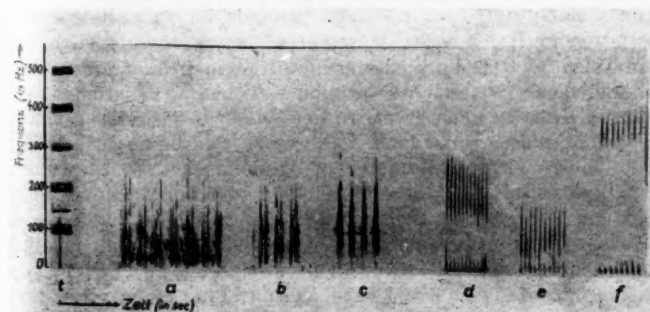


Abb. 6: Visible-speech-Diagramme verschiedener akustischer Erscheinungen aus dem Bereich der Inneren Medizin. Bezeichnungen a-f wie bei Abb. 5

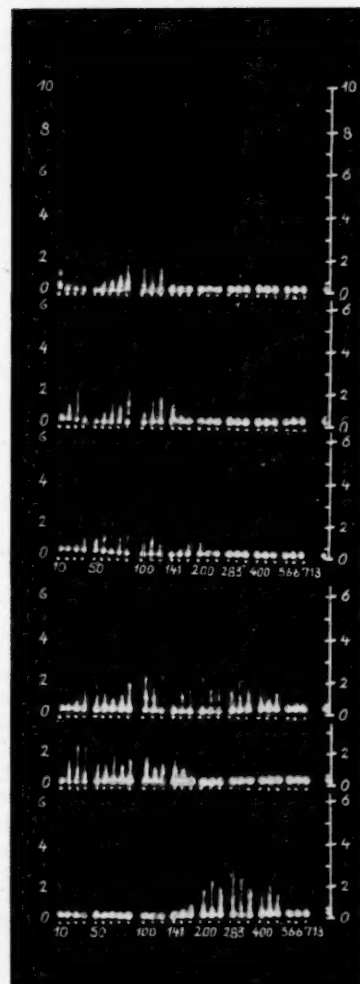


Abb. 8: Tonfrequenzspektrogramme (Frequenzspektren) verschiedener akustischer Erscheinungen aus dem Bereich der inneren Medizin. Bezeichnungen a-f wie bei Abb. 5. Die Diagramme bei a und b geben die frequenzmäßige Zusammensetzung zum Zeitpunkt der ersten Herztöne wieder. Abszisse stellt die Frequenzskala dar. Angegebene Zahlen bezeichnen die Mittelfrequenzen der entsprechenden Bandfilter. Ordinate stellt die Intensität dar

In der Abb. 8 sind zum Vergleich die Frequenzanalyseergebnisse der gleichen Beispiele wiedergegeben, welche aber mittels einer anderen Analysiermethode (Tonfrequenzspektrometer nach Freystedt) erhalten wurden. Sie zeigen im wesentlichen die gleichen Resultate, wenn auch nicht so instruktiv wie die Visible-speech-Diagramme.

























